



Journal of Aerospace Defense

Volume 3, Issue 3

Autumn2024

P.P. 27-40

Research Paper; 

Comparing Various band-pass filter for X-band plasma radar receiver protector structures

Mohammad Reza Kardgar¹, R. Razavi², A. Shekari³, M. Ramezani⁴

1. Department of Physics, Sciences Faculty, Imam Hossein Comprehensive University, Tehran, Iran. mmrezakardgar@gmail.com
2. Department of Physics, Sciences Faculty, Imam Hossein Comprehensive University, Tehran, Iran. rrazavin@ihu.ac.ir
3. Department of Technical and engineering, advanced materials and nanotechnology Sciences Faculty, Imam Hossein Comprehensive University, Tehran, Iran. a_shekari@ihu.ac.ir
4. Department of Physics, Sciences Faculty, Imam Hossein Comprehensive University, Tehran, Iran. morteza_ramezani@ihu.ac.ir

Article Information

Abstract

Received:

2024/05/09

Accepted:

2024/11/08

Keywords:

The radar receiver protector is one of the important components in the radar system. It prevents the receiver from noise and powerful Electromagnetic wave. In this paper, the simulations are done for different structures of the radar receiver protector using COMSOL software in the X-band frequency. The simulation selected structure is based on the WR90 waveguide structure. In this simulation, parameters such as reflection and transmission coefficients, as well as the maximum field intensity created within different radar receiver protector structures, have been investigated. The studied structures include iris-diaphragms-pairs, posts-and-diaphragms, truncated-cones-and-diaphragms, Dumbell-pointed-post-tunable, Dumbell-pointed-post, and Dumbell structures.

The simulation results show that the internal structure of the waveguide has an important parameter on the filtration performance, the frequency selection and intensity modes created on the tips of the electrodes. Dumbell-pointed-posts-tunable among the investigated structures due to the frequency modes and high intensity of the electric field at the tip of the electrodes, it is superior to other structures.

Keywords:

Radar receiver protector,
microwaves, breakdown
voltage, RF, WR90, Comsol,
Filtration

Corresponding Author:

R. Razavi

Email:

rrazavin@ihu.ac.ir



فصلنامه علمی دفاع هوافضایی

دوره ۳، شماره ۲
پائیز ۱۴۰۳
صص ۲۷-۴۰



مقاله پژوهشی:

مقایسه فیلتراسیون ساختارهای مختلف محافظه کردن رادار پلاسمایی باند X

محمد رضا کاردگر^۱، روح الله رضوی نژاد^۲، علی شکاری^۳، مرتضی رمضانی^۴

۱. دانشجوی دکتری فیزیک هسته ای، مرکز علم و فناوری فیزیک، دانشکده علوم پایه، دانشگاه جامع امام حسین (ع)، تهران،

mmrezakardgar@gmail.com

۲. استاد فیزیک، مرکز علم و فناوری فیزیک، دانشکده علوم پایه، دانشگاه جامع امام حسین (ع)، تهران، rrazavin@ihu.ac.ir

۳. پژوهشگر، مرکز مواد پیشرفته و نانوفناوری، دانشگاه جامع امام حسین (ع)، تهران، a_shekari@ihu.ac.ir

۴. پژوهشگر، مرکز علم و فناوری فیزیک، دانشکده علوم پایه، دانشگاه جامع امام حسین (ع)، تهران، morteza_ramezani@ihu.ac.ir

چکیده

محافظه گیرنده راداری یکی از اجزای مهم در سامانه راداری است که از گیرنده در برابر نویز و امواج پرتوان جلوگیری می‌کند و به امواج براساس توان و فرکانس انتخابی بر پایه ساختار اجازه عبور می‌دهد. در این مقاله، شبیه‌سازی ساختارهای مختلف محافظه گیرنده راداری با استفاده از نرم‌افزار کامسول در محدوده فرکانسی باند X بر پایه موجبر WR90 انجام شده و پارامترهای ضرایب عبور و بازتاب و حداقل شدت میدان ایجاد شده مورد بررسی قرار گرفته است. ساختارهای مورد بررسی در این شبیه‌سازی شامل ساختارهای جفت صفحه آیریس، صفحات آیریس به همراه الکترود، محرومی، الکترود دمبلي نوک تیز قابل تنظیم، دمبلي نوک تیز و ساختار دمبلي می‌باشد. نتایج شبیه‌سازی نشان می‌دهد که ساختار داخلی موجبر نقش مهمی در عملکرد فیلتراسیون، مدهای فرکانسی و شدت میدان ایجاد شده بر روی نوک الکترودها دارد. ساختار الکترود دمبلي نوک تیز قابل تنظیم، به دلیل شدت بالای میدان الکتریکی در نوک الکترودها، برای تولید پلاسما در محافظه‌های پلاسمایی نسبت به سایر ساختارها برتری دارد.

اطلاعات مقاله

تاریخ دریافت:

۱۴۰۳/۰۲/۲۰

تاریخ پذیرش:

۱۴۰۳/۰۸/۱۸

کلیدواژه‌ها:

محافظه گیرنده راداری،
امواج مایکروویو، ولتاژ
شکست، RF، WR90، کامسول،
فیلتراسیون

نویسنده مسئول:

روح الله رضوی نژاد

ایمیل:

rrazavin@ihu.ac.ir

استناد: کاردگر، محمد رضا؛ روح الله، رضوی نژاد؛ علی، شکاری؛ مرتضی، رمضانی؛ (۱۴۰۳). مقایسه فیلتراسیون ساختارهای مختلف محافظه گیرنده راداری باند X. فصل نامه علمی پژوهشی دفاع هوافضایی، دوره ۳ (شماره ۳)، صفحه ۲۷-۴۰

۱- مقدمه

با توجه به افزایش علاقه به استفاده از امواج مایکروویو در بخش‌های صنعتی و نظامی، استفاده از باندهای فرکانسی و کاربردهای آن در این حوزه رو به افزایش است [۱]. محدوده فرکانسی مایکروویو به تعداد معینی از باندهای فرکانسی تقسیم می‌شود که در آن هر باند به برخی از کاربردهای خاص اختصاص داده شده است. به عنوان مثال، چندین حوزه کاربردی در باند L (گیگاهرتز ۱-۲)، مانند GPS، CDMA، GSM، ماهواره دریابی و دورنمایی^۱ نظامی در حال استفاده هستند. در حالی که حوزه‌های تجاری با استفاده از بلوتوث یا وای‌فای در باند S (گیگاهرتز ۲-۴) کار می‌کنند. باند X (گیگاهرتز ۸-۱۲) عموماً در کاربردهای نظامی، پدافندی و صنعتی، به ویژه با موجرهای امواج مایکروویو، تجاری شده است [۲-۶]. برنامه‌های تلویزیون ماهواره‌ای، رادیویی، رادار و کاربردهای نجومی در باند Ku و K به ترتیب در محدوده‌های (گیگاهرتز ۱۲-۱۸) و (گیگاهرتز ۱۸-۲۷) ارائه می‌شوند، باند فرکانسی P در محدوده $\frac{1}{3}$ -۱۰ گیگاهرتز توانایی بالایی در نفوذ به پوشش گیاهی و جمع‌آوری داده‌های دقیق از سطح زمین دارد و در صنایع هوایی و فضایی و سامانه‌های راداری نیز از آن استفاده می‌شود [۷].

محافظ گیرنده رادار در سامانه راداری از گیرنده در برابر نویز و امواج پرتوان حفاظت می‌کند، نمونه‌های اولیه محافظ گیرنده‌های راداری با استفاده از دیودهای خلاء طراحی شده بودند. یکی از نمونه‌های این محافظها شامل ایجاد پلاسمای در فاصله بین دو الکترود در فشار پایین و داخل محفظه شیشه‌ای بود که الکترودها به یک منبع ولتاژ خارجی متصل می‌شدند. یکی از اولین محافظهای گیرنده توسط لوسان^۲ ساخته شد [۸] که شامل ایجاد جرقه‌ای^۳ در یک لوله شیشه‌ای کوچک و اتصال آن به یک مدار بود. بعدها با توسعه محافظ گیرنده ساختار آن تغییر کرد و با توجه به علاقه روزافزون به ساخت دستگاه‌های فیلتراسیون، طبقه‌بندی‌هایی گوناگون برای آن ایجاد شد [۱۳-۹]. نمونه‌ای از ساختارهای تجربی، ساختار اندرسون^۴ با محافظ گیرنده باند S بود [۱۴]. این محافظ گیرنده راداری توانایی فیلتر امواج با مدهای مختلف را دارد و در این مقاله به صورت ساختار صفحات آیریس به همراه الکترودها

1 Telemetry

2 J. L. Lawson

3 Spark

4 Andersen

برای باند X مورد بررسی قرار گرفته است. نمونه‌ای دیگر از محافظه گیرنده ساختار گانگ^۱ است که در آن با استفاده از پارامترهای عبور و بازتاب به تحلیل ولتاژ مورد نیاز برای شکست موج می‌پردازد و مقدار کمینه چگالی پلاسما برای فرآیند یونیزاسیون در حضور ولتاژ خارجی، (10^{19} m^3) تعیین شده است [۱۵] و در این مقاله به عنوان ساختار مخروطی مورد بررسی قرار گرفته است. نمونه بعدی ساختار ارائه شده توسط گلدی^۲ است که با ترکیب فیلتراسیون چند مرحله‌ای و افزودن مدار جانبی به ساختار محافظه گیرنده توانسته تحمل توان بالای موج ورودی و زمان بازیابی کوتاهی را برای محافظه گیرنده ایجاد نماید [۱۶، ۱۹] و در این مقاله به عنوان ساختار دمبلی مورد بررسی قرار گرفته است. ساختارهای دیگر مورد بررسی این مقاله براساس نمونه‌های صنعتی ساخته شده [۱۶، ۱۷]، شبیه سازی و مقایسه شده است.

Mogjberها در ساختارهای مختلفی نظیر مستطیلی، دایره‌ای و بیضوی ساخته می‌شوند، این ساختارها از جمله ساختارهای مهم در مهندسی مایکروویو هستند. Mogjberهای مستطیلی به دلیل سادگی ساخت و استاندارد بودن ابعاد، بیشتر از سایر ساختارها استفاده می‌شوند. یکی از استانداردهای رایج برای این نوع موجبر، WR90 است که ابعاد ساختار آن $0.9 \times 0.4 \times 0.22 \text{ میلی متر}$ در $0.16 \times 0.10 \text{ میلی متر}$ است. آنجه در این مقاله به عنوان هدف بوده، استفاده از Mogjberهای معرفی شده به عنوان محافظه گیرنده پلاسمایی است. برای این منظور باید شرایط ایجاد پلاسما که خود وابستگی قوی به پروفایل و شدت میدان الکتریکی در الکترودها را دارد مورد بررسی قرار گیرد. بدین ترتیب ساختاری مناسب است که تولید شدت میدان الکتریکی بزرگتری در ناحیه الکترودها داشته باشد.

برای این کار با استفاده از شبیه‌سازی، فیلتراسیون ساختارهای محافظه گیرنده را در ساختارهای مختلف بر پایه موجبر WR90 با استفاده از نرم‌افزار کامسول مورد بررسی قرار گرفته است و نقش ساختار داخلی موجبر در مدهای فرکانسی، شدت میدان ایجاد شده در نوک الکترودها و عملکرد فیلتراسیون تعیین شده است.

۲- تئوری و روش انجام کار

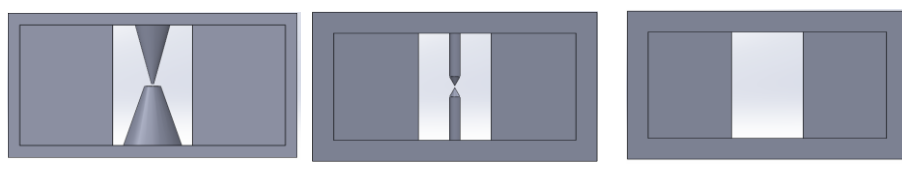
نرم‌افزارهای مورد استفاده در این مقاله شامل دو نرم‌افزار سالیدورکس و نرم‌افزار کامسول است که در ادامه به شرح آنها می‌پردازیم:

1 Gang
2 Goldie

نرم افزار سالیدورکس^۱: یک نرم افزار مهندسی طراحی سه بعدی که دارای سه محیط به نام های قطعه (part)، مونتاژ (assembly) و طراحی (drawing) می باشد. محیط اول برای رسم قطعه بوده، در محیط دوم قطعات یک ساختار بر روی هم سوار شده و در محیط آخر از آن ها نقشه مهندسی (عموماً برای نسخه چاپی) تهییه می شود.

نرم افزار کامسول^۲: یک مجموعه کامل شبیه سازی است که می تواند معادلات دیفرانسیل سیستم های غیر خطی را توسط مشتق های جزئی به روش اجزاء محدود (FEM)^۳ در فضاهای یک، دو و سه بعدی حل نماید. در این تحقیق مقایسه ساختارهای محافظ گیرنده راداری RF^۴ بر پایه موجبر WR90 با استفاده از شبیه سازی در نرم افزار کامسول نسخه ۶/۱ انجام شده است.

در ابتدا طراحی قطعات به صورت سه بعدی در نرم افزار سالیدورکس انجام می گیرد. سپس در نرم افزار کامسول طرح بدست آمده از سالیدورکس اضافه می شود. هندسه های مورد بررسی در این مقاله، شامل شش ساختار از جمله، ساختار جفت صفحه آیریس [۱۳]، ساختار صفحات آیریس به همراه الکترودها [۱۴]، ساختار مخروطی [۱۵]، ساختار الکترود دمبلی نوک تیز قابل تنظیم [۱۶-۱۵]، ساختار دمبلی نوک تیز [۱۷-۱۶] و ساختار دمبلی [۱۹، ۱۶] می باشد. در شکل ۱ برش عرضی شش ساختار شبیه سازی در این مقاله نشان داده شده است.



(ب)

(ب)

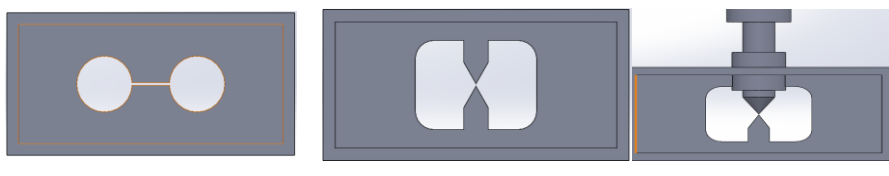
(الف)

1 SolidWorks

2 COMSOL Multiphysics

3 Finite Element Method

4 Radio Frequency



(ج) (ث) (ت)

شکل ۱. برش عرضی ساختارهای مختلف محافظ گیرنده در نرم افزار سالیدورکس. (الف) ساختار جفت صفحات آیریس [۱۳]، (ب) صفحات آیریس به همراه الکتروودها [۱۴]، (پ) ساختار مخروطی [۱۵]، (ت) ساختار الکتروود دبلی نوک تیز قابل تنظیم [۱۶-۱۷]، (ث) ساختار دبلی نوک تیز [۱۶-۱۷] و (ج) ساختار دبلی [۱۶] و [۱۹]

در تمامی ساختارهای محافظ گیرنده فاصله بین دو سر الکتروودها $0/2\text{ mm}$ و فاصله بین جفت صفحات 15 mm می باشد. طول موجبر 47 mm و ابعاد صفحات آیریس $10/16\times 8\times 1\text{ mm}$ در نظر گرفته شده است. در ساختارهای با نوک تیز، زاویه تنظیم شده 60° درجه می باشد. قسمت الف شکل (۱) به ساختار دو جفت فیلتر صفحات آیریس اشاره دارد. در قسمت ب شکل (۱) ساختار محافظ گیرنده براساس مدل کار مرجع [۱۵] انتخاب شده و زاویه نوک الکتروودها 60° درجه و خامات الکتروودها یک میلی متر در نظر گرفته شده است. قسمت پ شکل (۱) ساختار محافظ گیرنده براساس مدل مرجع [۱۵] بیان شده و شعاع بالا، شعاع پایین و ارتفاع به ترتیب $0/1\text{ mm}$ ، $4/96\text{ mm}$ و $1/5\text{ mm}$ در الکتروود بالا در نظر گرفته شده است و شعاع بالا، شعاع پایین و ارتفاع به ترتیب $2/56\text{ mm}$ ، 5 mm و $0/7\text{ mm}$ در الکتروود پایین در شبیه سازی بکار رفته است. در قسمت های ت، ث و ج شکل (۱) به ترتیب ساختار الکتروود دبلی نوک تیز قابل تنظیم، ساختار دبلی نوک تیز و ساختار دبلی بر اساس نمونه های ساخته شده مراجع [۱۶-۱۷] شبیه سازی شده اند.

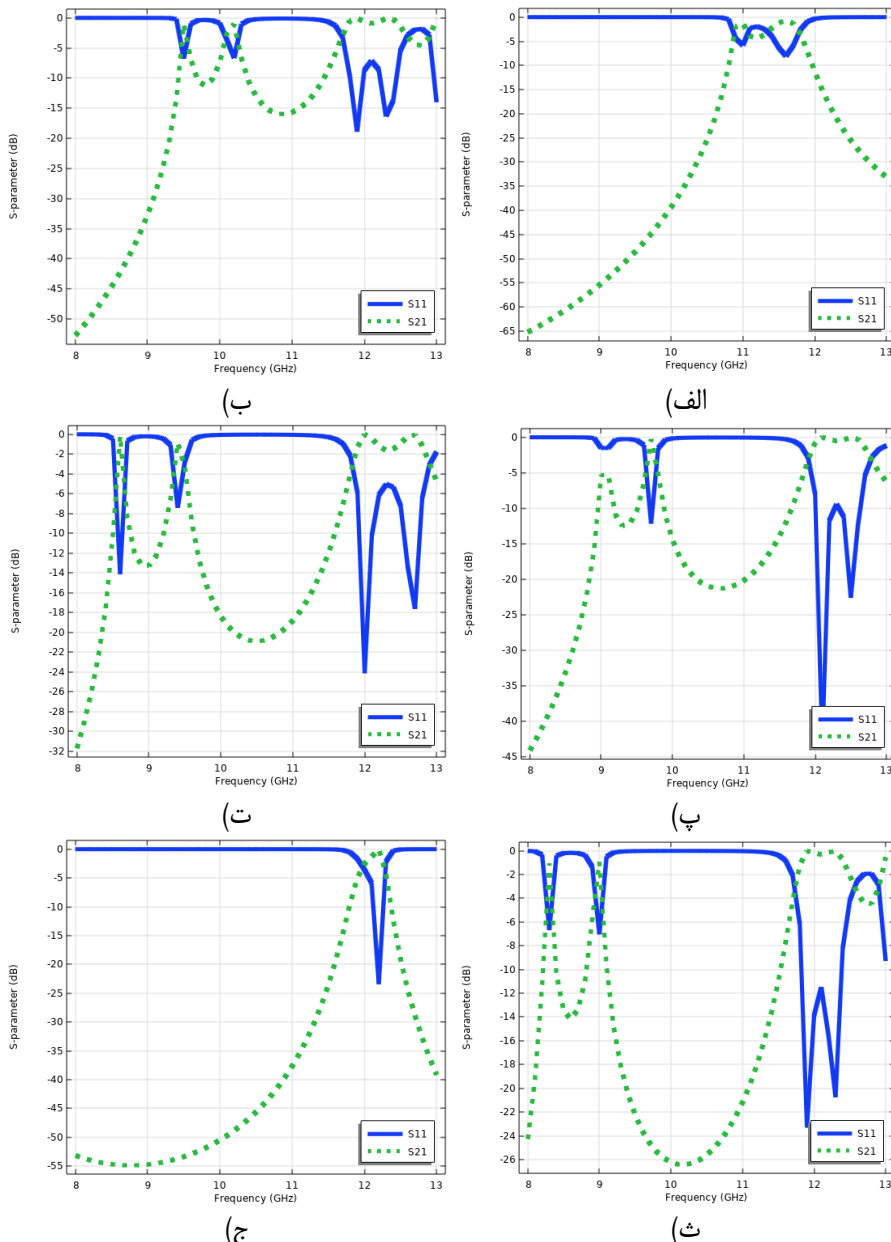
پس از طراحی هندسه، قطعات به نرم افزار کامسول اضافه شده اند. ترتیب مراحل در نرم افزار شبیه سازی کامسول بدین صورت است که ابتدا هندسه مورد نظر به نرم افزار اضافه شده و در مرحله بعد جنس مواد مورد استفاده برای فضا تعیین می گردد. خامات پنجره ورودی موج در موجبر [۱ mm] و در تمامی هندسه ها، از شیشه (کوارتز) به عنوان ماده انتخابی برای پنجره استفاده شده است، جنس فضای داخل موجبر از هوا با فشار یک تور [۱۰] و همچنین جنس ساختار فلزی موجبر از استیل در نظر گرفته شده است. محدوده فرکانس شبیه سازی از ۸ تا ۱۳ گیگاهرتز با اندازه گام های [۱/۰ GHz] در محاسبات به کار

رفته است. در مرحله بعد فیزیک مورد نظر به شبیه سازی اضافه می شود و معادله مورد استفاده در شبیه سازی موجبر، معادلات ماکسول است، در گام بعد به مشبندی هندسه پرداخته و در شبیه سازی از فرآیند استقلال از مش بهره گرفته شده تا از صحت نتایج اطمینان حاصل شود.

۳- شبیه سازی، بحث و نتایج

در این بخش به شبیه سازی ساختارهای مختلف محافظ گیرنده راداری ذکر شده در بخش قبل، پرداخته شده و پارامترهای پراکنده و شدت میدان در قسمت های مختلف محافظ گیرنده راداری شبیه سازی و استخراج شده است. پارامترهای پراکنده مجموعه ای از اعداد مختلف هستند که عبور و بازتاب توان یک دستگاه را در فرکانس های مختلف توصیف می کنند. مهم ترین پارامتر پراکنده برای یک فیلتر ضریب عبور (S_{21}) و ضریب بازتاب (S_{11}) هستند. ضریب بازتاب (S_{11}) نشان می دهد چه مقدار از توان ورودی به منبع بازتاب می شود و ضریب عبور (S_{21}) نشان می دهد چه مقدار از توان ورودی از انتهای موجبر خارج می شود. مقادیر ایده آل برای یک فیلتر در مدعوبویی، به صورت $S_{11}=0$ و $S_{21}=1$ است و نشان دهنده عدم بازتاب و عبور کامل توان ورودی است.

دقت از عوامل کلیدی در گیرنده راداری است و در طراحی و ایجاد مدهای فرکانسی، مدهای فرکانسی با پهنه ای کم که در اصلاح تیز گفته می شوند از اهمیت ویژه ای برخودار هستند. همچنین وجود مدهای عبور این امکان را فراهم می کند تا برای گیرنده های مختلف قابل استفاده باشد. شکل (۲) پارامتر پراکنده برای شش ساختار مختلف محافظ گیرنده راداری ذکر شده در شکل (۱) براساس نتایج شبیه سازی انجام شده برای آنها را نشان می دهد.



شکل ۲. شبیه سازی برای پارامتر پراکندگی بر حسب فرکانس برای ساختارهای: (الف) ساختار جفت صفحه آیریس (ب) صفحات آیریس به همراه الکتروودها (پ) ساختار مخروطی (ت) ساختار الکتروود دبلی نوک تیز قابل تنظیم (ث) ساختار دبلی نوک تیز (ج) ساختار دبلی نوک تیز (ج)

در شکل ۲، محور افقی فرکانس و محور عمودی نشان دهنده پارامتر عبور و بازتاب

است. ضریب بازتاب به صورت خط تو پر و ضریب عبور به صورت نقطه چین نشان داده شده است. در ساختار دو جفت صفحه آیریس در شکل ۲. الف) پهنتای موج فیلتر شده در حدود $1/2 \text{ GHz}$ است که به نسبت، پهنتای بزرگی است و نمونه‌ای از ساختار فیلتر بدون الکترود را نشان می‌دهد. در ساختار صفحات آیریس به همراه الکترودها در شکل ۲. ب) مدهای عبوری این ساختار (GHz) $10/2$ و $9/3$ است. در ساختار مخروطی طبق شکل ۲. پ) مدهای عبوری (GHz) $9/1$ و $9/7$ است و با مدهای مشاهده شده در مقاله گانگ که شبیه‌سازی خود را براساس نرم‌افزار CST انجام داده است [۱۵]، تطابق دارد.

در ساختار الکترود دمبلی نوک تیز قابل تنظیم طبق شکل ۲. ت)، شامل دو مد عبوری (GHz) $8/6$ و $9/4$ می‌باشد. در ساختار دمبلی نوک تیز طبق شکل ۲. ث) مدهای عبوری این ساختار (GHz) $8/3$ و 9 است. در ساختار دمبلی طبق شکل ۲. ج) مد عبوری این ساختار (GHz) $12/2$ است. همانگونه که در ساختارهای شکل ۲ (ب، ت، ث) مشاهده می‌شود این ساختارها امواج بالاتر از $11/4 \text{ GHz}$ را عبور می‌دهند. خلاصه نتایج مربوط به شکل ۲ در جدول (۱) لیست شده است.

جدول ۱. بررسی پارامتر پراکندگی محاسبه شده از شبیه‌سازی.

نوع ساختار	باند عبوری (GHz)	مد فرکانسی عبوری (GHz)
ساختار جفت صفحه آیریس	$12-10/8$	ندارد
صفحات آیریس به همراه الکترودها ^۱	$>11/4$	$9/3$ و $10/2$
ساختار مخروطی ^۲	$13-11/6$	$9/7$ و $9/1$
الکترود دمبلی نوک تیز قابل تنظیم ^۳	$>11/4$	$9/4$ و $8/6$
ساختار دمبلی نوک تیز ^۴	$>11/4$	$8/3$ و 9
ساختار دمبلی ^۵	$12/2-11/6$	$12/2$

در ادامه، در شکل (۳)، نتایج شبیه‌سازی را برای بیشترین شدت میدان الکتریکی در شش ساختار محافظ گیرنده راداری ذکر شده، را نشان می‌دهد.

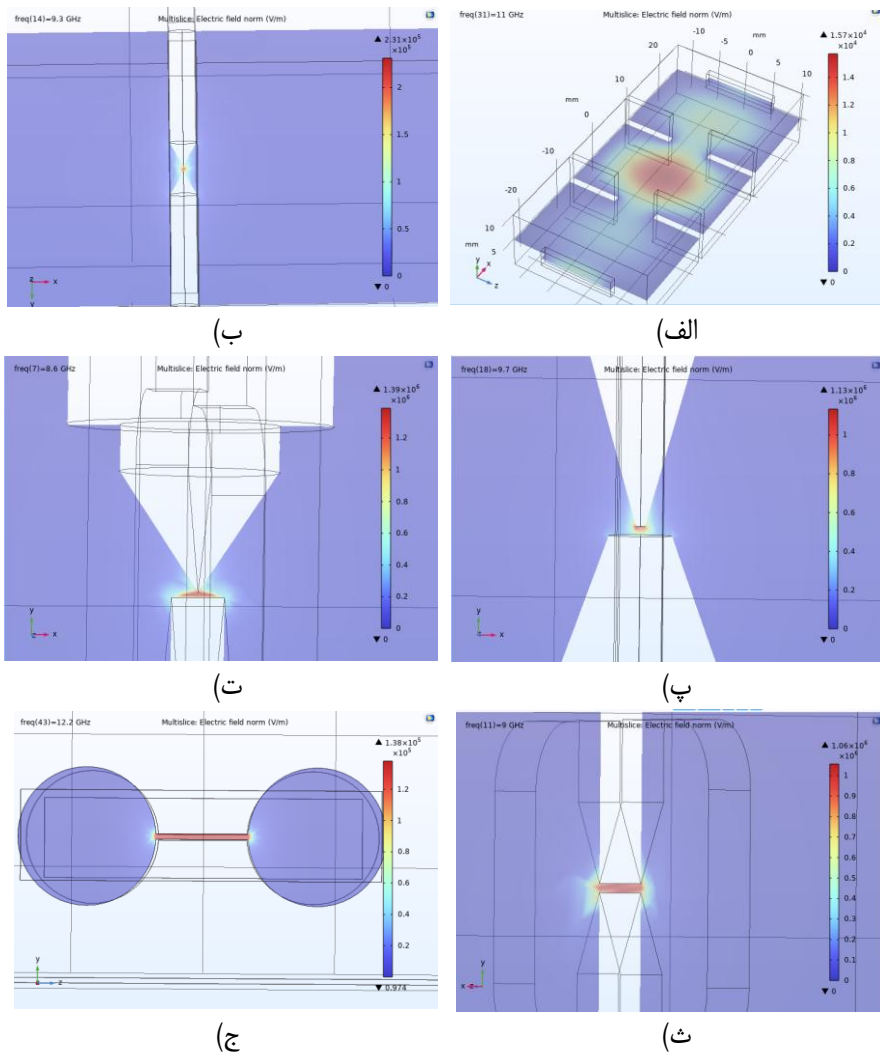
¹ Posts and diaphragms

² Turncated cones and diaphragms

³ Dumbell-pointed-posts-tunable

⁴ Dumbell-pointed-posts

⁵ Dumbell



شکل ۳. نتایج شبیه سازی شدت میدان الکتریکی برای ساختارهای (الف) ساختار جفت صفحه آیریس (ب) صفحات آیریس به همراه الکتروودها (پ) ساختار مخروطی (ت) ساختار الکتروود دمبلی نوک تیز قابل تنظیم (ث) ساختار دمبلی نوک تیز (ج) ساختار دمبلی

با توجه به شکل (۳)، در ساختار دو جفت صفحه آیریس در شکل ۳. (الف) بیشترین شدت میدان الکتریکی در بین صفحات آیریس، مقدار $(1.57 \times 10^5 \text{ V/m})^3$ است. در ساختار صفحات آیریس به همراه الکتروودها در شکل ۳. (ب) ناحیه کوچکی در بالای نوک الکتروود دارای بیشترین شدت است و مقدار آن در حدود $(2.31 \times 10^5 \text{ V/m})^3$ است. در ساختار مخروطی با توجه به شکل ۳. (پ) ناحیه کوچکی در بین دو الکتروود و در نزدیکی الکتروود

بالابی (الکترود با قطر کوچکتر) دارای بیشترین شدت است و مقدار آن در حدود $(V/m)^{10} \times 1/13$ است. در ساختار الکترود دمبلی نوک تیز قابل تنظیم براساس شکل ۳. ت) شدت میدان الکتریکی بین الکترودها در حدود $(V/m)^{10} \times 1/39$ است. در ساختار دمبلی نوک تیز براساس شکل ۳. ث) شدت میدان الکتریکی بین الکترودها در حدود $(V/m)^{10} \times 1/06$ است. در ساختار دمبلی براساس شکل ۳. ج) بیشترین شدت میدان الکتریکی، پهنه‌ای نوک الکترودها را در بر گرفته و مقدار شدت میدان الکتریکی آن در حدود $(V/m)^{10} \times 1/38$ است.

برای بهبود عملکرد محافظه‌های گیرنده راداری، با تغییرات در پارامترهای مختلف محافظه گیرنده می‌توان تشکیل پلاسما و ولتاژ مورد نیاز جهت شکست گاز را کاهش داد، یکی از پارامترهای مهم در این زمینه، طراحی ساختار به گونه‌ای است که شدت میدان حاصل از موج ورودی بیشترین مقدار باشد.

ساختار دمبلی، بدلیل نوع ساختار خاص آن میدان الکتریکی با شدت بالا را دارد که منجر به فیلتری با پهنه‌ای کم نسبت به دیگر ساختارها شده است، ساختارهای محافظه گیرنده با چگالی بالای پلاسما نظری ساختار دمبلی، محافظه با کیفیت بالا را ایجاد می‌کند. براساس نتایج شبیه‌سازی نشان می‌دهد که ساختار الکترود دمبلی نوک تیز قابل تنظیم، در شکل (۲) بدلیل داشتن مدهای فرکانسی با پهنه‌ای کوچک گزینه مناسبی برای محافظه گیرنده راداری هستند. در شکل (۳) ساختارهای (پ-ث) بیشترین شدت میدان الکتریکی از مرتبه $(V/m)^{10} \times 1/10$ است و از میان ساختارها، ساختار الکترود دمبلی نوک تیز قابل تنظیم، بیشترین شدت میدان الکتریکی را در حدود $(V/m)^{10} \times 1/39$ در بین ساختارها دارد و قابلیت ایجاد پلاسما را بهتر از ساختارهای دیگر دارد. ساختاری که بیشترین شدت میدان الکتریکی در محافظه گیرنده راداری را دارد، ساختاری حساس‌تر نسبت به شدت موج ورودی می‌باشد.

جدول ۲. مقایسه شدت میدان الکتریکی شش ساختار

نوع ساختار	شدت میدان (V/m)
ساختار جفت صفحه آیریس	$1/57 \times 10^4$
صفحات آیریس به همراه الکترودها ^۱	$2/31 \times 10^5$
ساختار مخروطی ^۲	$1/13 \times 10^6$

¹ Posts and diaphragms

² Turned cones and diaphragms

$1/39 \times 10^6$	الکترود دمبلی نوک تیز قابل تنظیم ^۱
$1/06 \times 10^6$	ساختار دمبلی نوک تیز ^۲
$1/38 \times 10^5$	ساختار دمبلی ^۳

۴-تشکر و قدردانی

به مراتب تشکر و قدردانی خود را از حامیان تحقیق که به صورت غیرمستقیم در پیشبرد آن نقش داشته‌اند، دارم.

۵-تعارض منافع

نویسنده(گان) اعلام می‌دارند که در مورد انتشار این مقاله تضاد منافع وجود ندارد. علاوه بر این، موضوعات اخلاقی شامل سرفت ادبی، رضایت آگاهانه، سوء رفتار، جعل داده‌ها، انتشار و ارسال مجدد و مکرر توسط نویسنده‌گان رعایت شده است.

۶-دسترسی آزاد

این نشریه دارای دسترسی باز است و اجازه اشتراک (تکثیر و بازاریابی محتوا به هر شکل) و انطباق (بازترکیب، تغییر شکل و بازسازی بر اساس محتوا) را می‌دهد.

۷-نتیجه‌گیری

در این مقاله با استفاده از نرم‌افزار کامسول به شبیه‌سازی شش ساختار از محافظه گیرنده راداری پرداخته شده است. هدف از انجام شبیه‌سازی، بررسی صحت عملکردی و کیفیت ساختارهای مطرح و بدست آوردن ساختار نهایی جهت استفاده و ارائه به عنوان ساختار پیشنهادی برای محافظه گیرنده راداری پلاسمایی است. نتایج شبیه‌سازی نشان می‌دهد که ساختار داخلی موجب به عنوان پارامتری مهم بر روی عملکرد فیلتراسیون، مدهای فرکانسی و شدت میدن الکتریکی ایجاد شده بر روی نوک الکتروودها تاثیر دارد. در این مقاله با استفاده از پارامترهای پراکندگی نشان داده شد که ساختارهای مخروطی، ساختار الکترود دمبلی نوک تیز قبل تنظیم، ساختار دمبلی نوک تیز و ساختار دمبلی از کیفیت مناسب و مدهای فرکانسی خاصی براساس ساختارشان برخوردارند. از بین ساختارهای مورد مطالعه، با در نظر گرفتن

¹ Dumbell-pointed-posts-tunable

² Dumbell-pointed-posts

³ Dumbell

پارامتر پراکندگی و شدت میدان ایجاد شده توسط موج ورودی، ساختار الکترود دمبلی نوک تیز قابل تنظیم، بدلیل شدت بالای میدان الکتریکی در حدود $(V/m) \times 10^6 / 39$ ، از دیگر ساختارها برتری دارد و در اصطلاح حساس‌تر و قابلیت بهتری را برای تولید محیط پلاسمایی دارا می‌باشد.

۸- پیشنهادات

برای ارتقای نتایج و نیز گسترش حوزه تحقیقات صورت گرفته موارد زیر پیشنهاد می‌شود:

- مطالعه ترکیبات گازی مختلف و نقش آن در عملکرد محافظه گیرنده راداری پلاسمایی
- مطالعه جنس مواد الکترودهای مورد استفاده در محافظه گیرنده راداری و تاثیر آن بر تولید پلاسما
- مطالعه دمایی و بررسی تاثیر دما و انتقال حرارت در عملکرد محافظه گیرنده راداری
- استفاده از ساختار الکترود دمبلی نوک تیز قابل تنظیم پیشنهادی این مقاله جهت ساخت و بهینه کردن ابعاد و مشخصه‌های این ساختار با پارامترهای تاثیرگذار بر عملکرد محافظه گیرنده

۹- منابع

- [۱] Aghanim, Amina, et al. "Design of a waveguide bandpass filter with inductive irises for a satellite application." E3S Web of Conferences. Vol. 351. EDP Sciences, 2022..
- [۲] Waveguide Frequency Bands with Interior Dimensions, <https://precisionmmw.com/wp-content/uploads/2023/03/Waveguide-Dimensions-Chart-with-Frequency-and-Conversions> .
- [۳] Wu, Shengbiao, et al. "Microwave Filter Modeling and Intelligent Tuning." Journal of Advanced Computational Intelligence and Intelligent Informatics 22.6 (2018): 924-932.
- [۴] AbuHussain, Mahmoud, and Ugur C. Hasar. "Design of X-bandpass waveguide Chebyshev filter based on CSRR metamaterial for telecommunication systems." Electronics 9.1 (2020): 101.

[۵] مرتضی رمضانی واسوکلائی، روح الله رضوی نژاد ، فرهاد خالوزاده، روح الله رضوی نژاد "استفاده از جرقه‌های رادیو اکتیو برای تولید آستانه ولتاژ شکست قابل اعتماد در محافظت گیرنده" بیست و هفتمین کنفرانس هسته ای ایران، دانشگاه فردوسی مشهد، ۱۳۹۹

- [۶] M. Ramezani, R. Razavi , T. Hosseinzadeh , S. A. Mirmohammadhosseini. Use of radioactive sources in radar receiver protector, conference on nuclear sience and technology.2022.2-4 March, Tehran, Iran.
- [۷] Li, Wei, et al. "The P-band SAR satellite: opportunities and challenges." 2019 6th Asia-Pacific Conference on Synthetic Aperture Radar (APSAR). IEEE, 2019.
- [۸] Earls, Alan R., and Robert E. Edwards. Raytheon Company: The First Sixty Years. Arcadia Publishing, 2005.
- [۹] Rectangular Waveguide Sizes https://www.phase2mw.co.uk/images/docs/Waveguide_guide.pdf(2024)
- [۱۰] Roth, J. Reece. Industrial Plasma Engineering: Volume 2- Applications to Nonthermal Plasma Processing. Routledge, 2017.
- [۱۱] Akatimagool, Somsak, and Sarun Choocadee. "The development of efficient cwfd simulation tools for waveguide band-pass filter design." 2011 International Symposium on Intelligent Signal Processing and Communications Systems (ISPACS). IEEE, 2011.
- [۱۲] Choocadee, Sarun, Sugchai Tantiviwat, and Somsak Akatimagool. "The Development of Simulation Tools for Design of Waveguide Filter Using Resonant Iris Circuit." Applied Mechanics and Materials 313 (2013): 971-975.
- [۱۳] Subramanyam, A. V. G., et al. "Realization and qualification of waveguide iris filters for space applications." 2014 IEEE International Microwave and RF Conference (IMaRC). IEEE,

2014.

- [۱۴] Andersen, Matthew. "S-Band Plasma Limiters for Electromagnetic Pulse Protection." (2006).
- [۱۵] Yin, Chang-gang, and Shao-bin Liu. "Analysis on the effect of plasma on the transmission characteristics microwave transmit-receive switches." 2008 8th International Symposium on Antennas, Propagation and EM Theory. IEEE, 2008.
- [۱۶] Zhou, R., Zhang, Z., Chen, C., & Zhang, H. (2014). Design of dual-band microwave duplexers. *Electronics letters*, 50(3), 219-221.
- [۱۷] Zhuang, H., Li, J., Geng, W., Dai, X., Zhang, Z., & Vasilakos, A. V. (2016, August). Duplexer design and implementation for self-interference cancellation in full-duplex communications. In 2016 24th European Signal Processing Conference (EUSIPCO) (pp. 125-129). IEEE.
- [۱۸] Kardegar, M. R., Razavi, R ,Ramezani, M , Shekari, A, "Systematic investigation of pure beta sources to reduce breakdown voltage in x-band waveguide.International conference on nuclear science and technology.2024.6-8 May Isfahan, Iran.
- [۱۹] Cherry, W. D., & Goldie, H. (1981). U.S. Patent No. 4,267,530. Washington, DC: U.S. Patent and Trademark Office.